

开普勒问题 $V = -k/\rho$

1 轨道方程

根据力的比内方程

$$mh^2 u^2 (u'' + u) - ku^2 = 0 \quad (1)$$

可以解出

$$u = A \cos(\varphi + \varphi_0) + \frac{k}{mh^2} = \frac{1 + e \cos(\varphi + \varphi_0)}{p} \quad (2)$$

其中 A 为待定参数，可以由能量的表达式（势能的比内方程）给出

$$A = \sqrt{\frac{2}{mh^2} \left(E + \frac{k^2}{2mh^2} \right)} \quad (3)$$

与椭圆方程 $\rho = p/[1 + e \cos(\varphi + \varphi_0)]$ 比较，得到

$$p = \frac{mh^2}{k}, \quad e = \sqrt{1 + \frac{2mh^2 E}{k^2}} \quad (4)$$

注意到 p 仅仅由角动量决定而与能量无关。

接下来，让我们对轨道方程 $\rho = p/(1 + e \cos \varphi)$ 做一些具体的讨论。

- $e = 0$ or $E = -k^2/2mh^2$, 圆

$$\rho = p = \frac{mh^2}{k} \quad (5)$$

- $0 < e < 1$ or $-k^2/2mh^2 < E < 0$, 椭圆

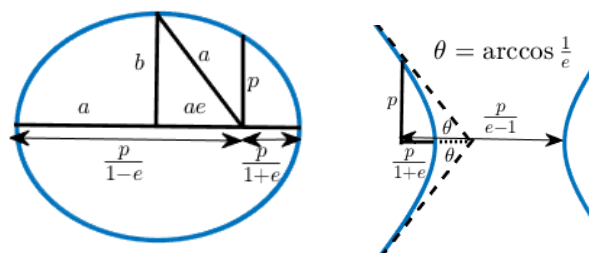


图 1:

$$a = \frac{1}{2} \left(\frac{p}{1+e} + \frac{p}{1-e} \right) = -\frac{k}{2E} \quad (6)$$

$$b = a\sqrt{1-e^2} = \sqrt{\frac{-mh^2}{2E}} \quad (7)$$

利用 a 和 b 的表达式，可以得到轨道周期

$$T = \frac{\pi ab}{h/2} = \frac{2\pi a}{h} \sqrt{-\frac{mh^2}{2E}} = 2\pi a^{3/2} \sqrt{\frac{m}{k}} \quad (8)$$

由于太阳质量 M_{sun} 远大于行星的质量 m_p ，约化质量 $m \approx m_p$ ，因此 $m/k \approx m_p/GM_{sun}m_p = 1/GM_{sun}$ 与行星质量无关。这正是开普勒第三定律。

注意到， a 仅仅由 E 决定，因此，在应用时可以取 a 和 e 作为变量往往比较简单

$$\rho = \frac{a(1-e^2)}{1+e\cos(\varphi+\varphi_0)} \quad (9)$$

- $e = 1$ or $E = 0$, 抛物线
- $e > 1$ or $E > 0$, 双曲线

渐近线为 $\cos \varphi = -1/e$ 。与椭圆轨道类似，这里我们也可以取 a 和 e 为变量

$$\rho = \frac{a(e^2-1)}{1+e\cos(\varphi+\varphi_0)} \quad (10)$$

其中 a 由能量直接给出

$$a = \frac{1}{2} \left(\frac{p}{e-1} - \frac{p}{e+1} \right) = \frac{k}{2E} \quad (11)$$

2 时间依赖

利用 $\dot{\rho} = \sqrt{2(E - V_{\text{eff}})/m}$ ，有

$$\begin{aligned} t - t_0 &= \sqrt{\frac{m}{2}} \int_{\rho_0}^{\rho} \frac{d\rho}{\sqrt{E - V_{\text{eff}}}} \\ &= \int_{\rho_0}^{\rho} \frac{\rho d\rho}{\sqrt{\frac{2E\rho^2}{m} - h^2 + \frac{2k\rho}{m}}} \\ &= \int_{\rho_0}^{\rho} \frac{\rho d\rho}{\sqrt{\frac{2E}{m} \left(\rho + \frac{k}{2E} \right)^2 - \frac{k^2}{4E^2} \left(1 + \frac{2Emh^2}{k^2} \right)}} \\ &= \begin{cases} \sqrt{\frac{ma}{k}} \int_{\rho_0}^{\rho} \frac{\rho d\rho}{\sqrt{a^2e^2 - (\rho-a)^2}} = \sqrt{\frac{m}{k}} a^{3/2} (\xi - e \sin \xi)|_{\xi_0}^{\xi}, & E < 0, \rho - a = -ae \cos \xi \\ \sqrt{\frac{m}{2k}} \int_{\rho_0}^{\rho} \frac{\rho d\rho}{\sqrt{\rho - \frac{mh^2}{2k}}} = \frac{1}{2} \sqrt{\frac{m}{k}} p^{3/2} \left(\xi + \frac{\xi^3}{3} \right) |_{\xi_0}^{\xi}, & E = 0, \rho = \frac{mh^2}{2k} (1 + \xi^2) \\ \sqrt{\frac{ma}{k}} \int_{\rho_0}^{\rho} \frac{\rho d\rho}{\sqrt{-a^2e^2 + (\rho+a)^2}} = \sqrt{\frac{m}{k}} a^{3/2} (e \sinh \xi - \xi) |_{\xi_0}^{\xi}, & E > 0, \rho - a = ae \cosh \xi \end{cases} \quad (12) \end{aligned}$$

这结果由开普勒首先得到，称为开普勒方程。对于椭圆轨道，结果可以用周期 T 表示为

$$2\pi \frac{t - t_0}{T} = (\xi - e \sin \xi)|_{\xi_0}^{\xi} \quad (13)$$

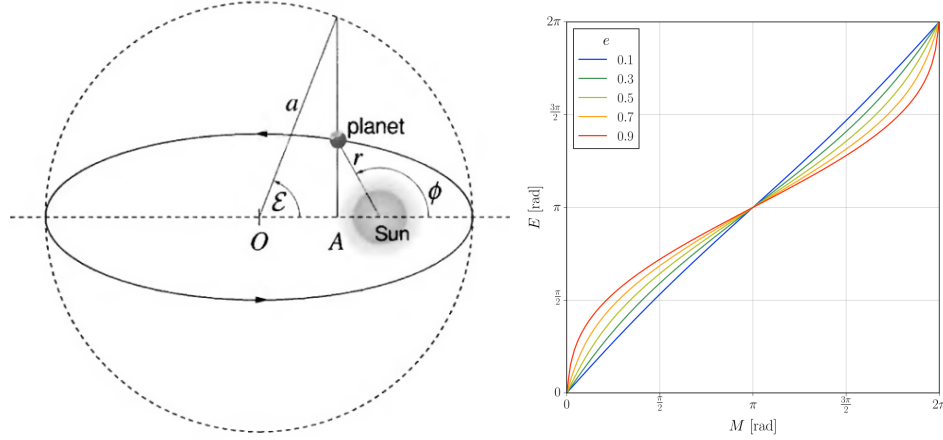


图 2: 开普勒方程。左图: Eccentric anomaly ξ , 在图中标为 \mathcal{E} 。摘自 Hand&Finch 书。右图: 开普勒方程的解。图中 E 表示 ξ , M 就是 $2\pi t/T$ 。摘自 wikipedia。

两边均为无量纲量。

另一方面, 我们也可以利用 $\dot{\varphi} = h/\rho^2$ 得到时间依赖,

$$t - t_0 = \int_{\varphi_0}^{\varphi} \frac{\rho^2(\varphi) d\varphi}{h} = \frac{p^2}{h} \int_{\varphi_0}^{\varphi} \frac{d\varphi}{(1 + e \cos(\varphi))^2} \quad (14)$$

当然, 这个积分可以通过变量代换 (其实还是上面定义的 ξ) 进行求解:

$$(1 + e \cos \varphi)(1 - e \cos \xi) = 1 - e^2, \quad e < 1 \quad (15)$$

$$(1 + e \cos \varphi)(e \cosh \xi - 1) = e^2 - 1, \quad e > 1 \quad (16)$$

$$\xi = \tanh(\varphi/2), \quad e = 1 \quad (17)$$

不过, 上面的积分变换显然难以想到。

一个更有效的方式当然是通过 Mathematica! ¹ 当 $e < 1$,

$$t - t_0 = \frac{p^2}{h} \frac{1}{(1 - e^2)^{3/2}} \left[2 \arctan \left(\sqrt{\frac{1 - e}{1 + e}} \tan \frac{\varphi}{2} \right) - \frac{e \sqrt{1 - e^2} \sin \varphi}{1 + e \cos \varphi} \right] \quad (18)$$

设 (见 [stackexchange](#) 上的这个讨论)

$$\tan \frac{\xi}{2} = \sqrt{\frac{1 - e}{1 + e}} \tan \frac{\varphi}{2} \quad (19)$$

可以证明,

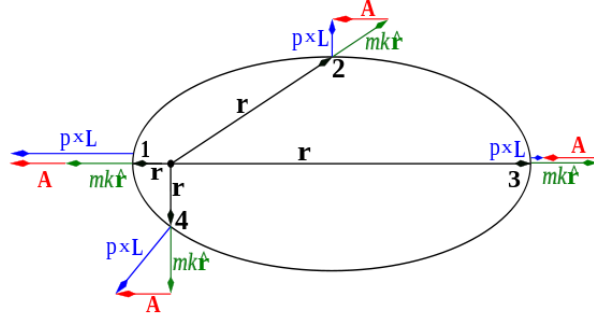
$$\frac{\sqrt{1 - e^2} \sin \varphi}{1 + e \cos \varphi} = \sin \xi \quad (20)$$

从而

$$t - t_0 = \sqrt{\frac{m}{k}} a^{3/2} (\xi - e \sin \xi) \Big|_{\xi_0}^{\xi} \quad (21)$$

¹感谢张泓轩同学指出, 这类积分可以通过三角函数中的“万能公式”方法进行积分。

3 Laplace-Runge-Lenz矢量



考虑如下的矢量

$$\mathbf{A} = \mathbf{p} \times \mathbf{L} - mk\hat{\mathbf{r}} \quad (22)$$

可以通过对时间求导直接证明 \mathbf{A} 是守恒量，并沿着半长轴方向。该守恒量在历史上被多次重复“发现”，现被称为Laplace-Runge-Lenz矢量。^{2 3}

进一步，通过计算 $\mathbf{r} \cdot \mathbf{A}$ 可以得到轨道方程。因为

$$\mathbf{r} \cdot \mathbf{A} = \mathbf{r} \cdot (\mathbf{p} \times \mathbf{L}) - mk\mathbf{r} \cdot \hat{\mathbf{r}} = L^2 - mk\rho = A\rho \cos \varphi \quad (24)$$

进而

$$\rho = \frac{L^2}{mk + A \cos \theta} \quad (25)$$

这正是圆锥曲线的方程，对比之前的结果，我们得到

$$p = \frac{L^2}{mk} = \frac{mh^2}{k}, \quad e = \frac{A}{mk} \quad (26)$$

原来 \mathbf{A}/mk 的大小就是偏心率 e ！我们也可以通过计算 A^2 得到 e 的具体表达式

$$\begin{aligned} A^2 &= p^2 L^2 + m^2 k^2 - 2mk(\mathbf{p} \times \mathbf{L}) \cdot \hat{\mathbf{r}} \\ &= 2m \left(E + \frac{k}{\rho} \right) L^2 + m^2 k^2 - \frac{2mk}{\rho} L^2 \\ &= 2mEL^2 + m^2 k^2 \end{aligned} \quad (27)$$

进而

$$e = \frac{A}{mk} = \sqrt{1 + \frac{2mEL^2}{m^2 k^2}} = \sqrt{1 + \frac{2mEh^2}{k^2}} \quad (28)$$

² 这个Lenz并不是Lenz定律的那个Lenz。

³ 有趣的是， \mathbf{L} 和 \mathbf{A} 这样两个守恒的矢量，对应于这个系统中存在的一种隐藏的对称性：

$$\begin{aligned} [L_i, L_j] &= \varepsilon_{ijk} L_k, \\ [A_i, L_j] &= \varepsilon_{ijk} A_k, \\ [A_i, A_j] &= -2mE\varepsilon_{ijk} L_k. \end{aligned} \quad (23)$$

这正是SO(4)群的特征，对应于在4维空间中的一种旋转不变性。事实上，正是该对称性给出了氢原子的主量子数 n 。

4 一些应用

4.1 三个宇宙速度

第一宇宙速度也被称为环绕速度，可由 $V'_{\text{eff}} = 0$ 得到

$$v_1 = \sqrt{\frac{k}{mR}} = \sqrt{\frac{GM}{R}} \quad (29)$$

第二宇宙速度称为逃逸速度，可由 $V_{\text{eff}} = 0$ 得到

$$v_2 = \sqrt{\frac{2GM}{R}} = \sqrt{2}v_1 \quad (30)$$

第三宇宙速度比较复杂，为在行星上逃出太阳系的速度。根据能量守恒

$$\frac{1}{2}mv_3^2 - \frac{1}{2}mv_2^2 = \frac{1}{2}m(v_{2\odot} - v_{1\odot})^2 \quad (31)$$

解得

$$v_3 = \sqrt{(\sqrt{2} - 1)^2 v_{1\odot}^2 + v_2^2} \quad (32)$$

其中， \odot 表示太阳。

4.2 潮汐与卫星姿态

考虑一个物体在引力场下的势能

$$\begin{aligned} V &= - \int \frac{GM dm}{|\boldsymbol{\ell} + \mathbf{r}|} = - \int \frac{GM \rho d^3 \mathbf{r}}{|\boldsymbol{\ell} + \mathbf{r}|} \\ &= - \int \frac{GM \rho d^3 \mathbf{r}}{\ell} \left(1 + \frac{2\mathbf{r} \cdot \boldsymbol{\ell}}{\ell^2} + \frac{r^2}{\ell^2} \right)^{-1/2} \\ &= - \frac{GMm}{\ell} + \int \frac{GM \rho (\mathbf{r} \cdot \boldsymbol{\ell}) d^3 \mathbf{r}}{\ell^3} - \int \frac{GM \rho d^3 \mathbf{r}}{\ell} \left[\frac{3(\boldsymbol{\ell} \cdot \mathbf{r})^2 - r^2 \ell^2}{2\ell^4} \right] + \mathcal{O}\left(\frac{1}{\ell^3}\right) \end{aligned} \quad (33)$$

第一项为将该物体看成质点的势能，第二项为偶极矩（一阶勒让德函数 $P_1 = \cos \theta$ ）的贡献，第三项为引力四极距（二阶勒让德函数 $P_2 = 3 \cos^2 \theta - 1$ ）的贡献。正是四极矩项造成了潮汐现象（一天两次）。

利用引力极距，可以很容易理解卫星的平衡姿态。对于哑铃形状的卫星，其平衡位置应该是其连线方向指向地心的方向。

4.3 轨道变更问题

在描述一个轨道的时候，需要3个参数： p ， e ， φ_0 。当然，从几何含义考虑，也可以采用 a ， e ， φ_0 作为参数

$$\rho = \frac{a(1 - e^2)}{1 + e \cos(\varphi + \varphi_0)} \quad (34)$$

而动力学量 E 和 h 则由 a 和 e 给出

$$a = \frac{k}{2|E|}, \quad e = \sqrt{1 + \frac{2mh^2 E}{k^2}} \quad (35)$$

常见的轨道变更方案如下：

- 在极值点改变速度的大小，比如 $v \rightarrow \lambda v$ ，称为霍曼转移，则

$$h \rightarrow \lambda h, \quad E \rightarrow E + \frac{1}{2}(\lambda^2 - 1)v^2, \quad (36)$$

$$p \rightarrow \lambda^2 p, \quad e \rightarrow \lambda^2 - 1 + e\lambda^2, \quad (37)$$

其中， e 的结果可以通过 $e = A/mk$ 得到，

$$e = \frac{A}{mk} = \frac{pL}{mk} - 1 \rightarrow \frac{\lambda^2 pL}{mk} - 1 = \lambda^2(e + 1) - 1 \quad (38)$$

当然，也可以利用变轨条件

$$\frac{p}{1+e} = \frac{\lambda^2 p}{1+e'} \quad (39)$$

得到，因为该极值点不发生改变（速度与位移仍保持垂直）。

- 在极值点附加上一个沿径向的速度 $v_\perp = \alpha v$ ，则

$$h \rightarrow h, \quad E \rightarrow E + \frac{1}{2}\alpha^2 v^2 \quad (40)$$

$$p \rightarrow p, \quad e \rightarrow \sqrt{e^2 + \frac{m^2 h^2 \alpha^2}{k^2}} \quad (41)$$

这时，轨道会发生一个转角 φ'_0 ，根据

$$\frac{p}{1+e} = \frac{p}{1+e' \cos \varphi'_0} \quad (42)$$

得 $\varphi'_0 = \arccos(e/e')$ 。因此，如果 $e = 0$ ，则 $\varphi'_0 = \pi/2$ 。

- 如果一般的改变轨道，我们总可以根据动力学量的改变得到新的 h' 和 E' ，进而得到新的 p' 和 e' ，再根据变轨时的位置条件得到轨道转角的改变 φ'_0

$$\frac{p}{1+e \cos(\varphi + \varphi_0)} = \frac{p'}{1+e' \cos(\varphi + \varphi'_0)} \quad (43)$$

- 例：飞船从半径为 R_1 的圆轨道出发，想到达 (R_2, ϕ_2) ($R_2 > R_1$) 的位置，可以如何做？如何尽可能的节省能量？

$$R_1 = \frac{a(1-e^2)}{1+e \cos(\varphi_1 + \varphi_0)},$$

$$R_2 = \frac{a(1-e^2)}{1+e \cos(\phi_2 + \varphi_0)} \quad (44)$$

2个方程，4个未知数。

如果想要最节省能量，应该让半长轴 a 尽可能小。因此，可以取 (R_2, ϕ_2) 为极值点，进而

$$\phi_2 + \varphi_0 = \pi \quad (45)$$

$$a(1+e) = R_2 \quad (46)$$

而轨道极小值应该满足

$$a(1-e) \geq R_0 \quad (47)$$

取等号时，得到 $a = (R_0 + R_2)/2$ ， $e = (R_2 - R_0)/(R_2 + R_0)$ 。进一步，利用 a 和 e ，可以得到变轨时的角度

$$\varphi_1 + \pi - \phi_2 = \arccos \left[\frac{a(1 - e^2)}{eR_1} - \frac{1}{e} \right] = \arccos \left[\frac{2R_0R_2 - R_0R_1 - R_1R_2}{R_1(R_2 - R_0)} \right] \quad (48)$$

4.4 引力助推

在行星的参考系中，入射与出射的速度大小相同，即

$$(\mathbf{v}_1 - \mathbf{v}_0)^2 = (\mathbf{v}_2 - \mathbf{v}_0)^2 \quad (49)$$

得

$$v_2^2 - v_1^2 = 2(\mathbf{v}_2 - \mathbf{v}_1) \cdot \mathbf{v}_0 \quad (50)$$

如果 $\mathbf{v}_2 - \mathbf{v}_1$ 沿着 \mathbf{v}_0 的分量大于零，则可以起到加速的效果。那么增加的动能从何而来呢？当然是行星的能量。

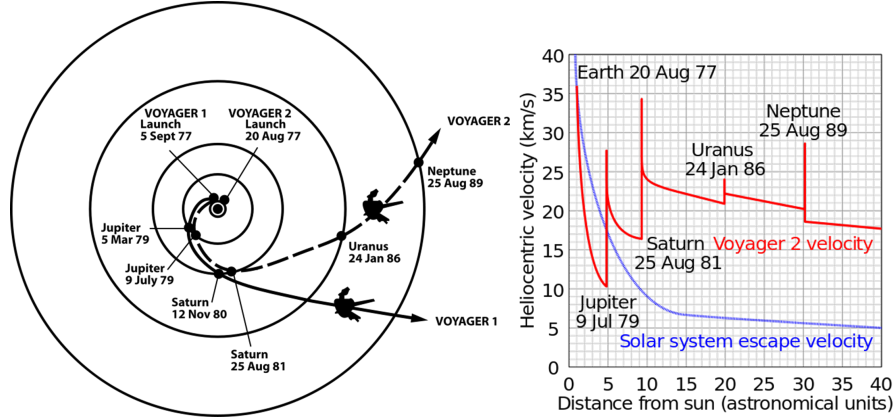


图 3: 旅行者号的轨道与引力助推

利用引力助推的方法，旅行者号只用了12年从地球到达冥王星，而霍曼轨道则需要

$$\frac{1}{2} \left[\frac{(r_N + r_E)}{2r_E} \right]^{3/2} \approx 30 \text{ years} \quad (51)$$

其中，用到 $r_N = 30r_E$ 。在Arovass的讲义9.5中，给出了一个具体的计算，仅考虑木星的散射。推荐大家阅读。

4.5 限制性三体问题

假定两个大质量的质点 m_1 和 m_2 在相互围绕着做圆周运动，设其间距为 r ，满足

$$\omega^2 = \frac{G(m_1 + m_2)}{r^3} \quad (52)$$

现在放入第三个小质量 m_3 的质点，其拉格朗日量为

$$L = \frac{1}{2}m_3(\dot{x} - \omega y)^2 + \frac{1}{2}m_3(\dot{y} + \omega x)^2 - \frac{Gm_1m_3}{r_{13}} - \frac{Gm_2m_3}{r_{23}} \quad (53)$$

历史上，彭加莱正是在对该问题进行研究中开创了混沌理论。

当 $\dot{x} = \dot{y} = 0$ ，可以得到5个不动点，称为拉格朗日点，分别记为 $L_{1\sim 5}$ 。其中， $L_{1,2,3}$ 为不稳定不动点，而 $L_{4,5}$ 为稳定不动点。

